

## 자기 위치 정보가 불확실한 상황에서 다수 모바일 센서를 활용한 균형 잡힌 목표물 위치 탐색

박준우\*, 안형주, 방효충

한국과학기술원

### Balanced Target Search of Mobile Sensor Fleet under Localization Uncertainty

Junwoo Park\*, Hyungjoo Ahn, Hyochoong Bang

**Key Words** : Multiple Mobile Sensors(다수 모바일 센서), Localization Uncertainty(위치 불확실성), Target Search(목표물 탐색), Active Sensing(능동 탐지)

#### 서 론

빠르게 이동할 수 있는 다수의 모바일 플랫폼에 탑재된 센서는 임무 시간의 단축 및 임무 성공 가능성의 측면에서 효과적이고, 소수 개체의 실패에도 강건한 정보 획득 체계로 기능할 수 있다. 특히, 다수의 드론, 파티클 필터 및 정보이론에 기반을 둔 협조적인 형태의 목표물 탐색이 활발히 연구되고 있으며 본 연구는 고정익 형태로 가정한 다수의 모바일 센서가 원격지의 목표물을 탐색하는 문제를 다룬다.

하지만 해당 기술의 응용 대상이 되는 수색 및 구조 임무의 경우 산악지형이나 발전소와 같은 험지에서 이루어지는 경우가 많으므로, 비행 플랫폼의 절대 위치 정보가 가용하지 않을 수 있다. 이에, GNSS의 부재를 상정하여 모바일 플랫폼의 위치 정보가 정확하지 않은 상황을 가정한다. Hoffmann 등<sup>(1)</sup>의 연구 내용을 센서의 위치 정보가 불확실한 상황으로 확장 적용해 각 센서가 자기 위치 및 표적의 불확실성을 동시에 낮출 수 있는 조사 방안을 제시한다. 단, 센서가 지속해서 표류해 표적 탐지가 원천적으로 불가능한 ill-posed 문제가 되는 것을 막기 위해 임무 배치 시작점과 같이 이미 알고 있는 지점으로의 측정치를 통해 자기 위치 정보와 목표물의 위치 정보를 동시에 추정하며, 그 둘의 균형 잡힌 기동 법칙을 다룬다.

#### 본 론

각 센서 파티클 필터의 상태변수를 식 (1)과 같이 목표물의 위치뿐만 아니라 센서별 자기 상태를 포함한 형태로 증강하여 결합 (joint) 확률 분포에서 엔트로피 및 상호 정보량 (mutual information)을 추론한다.

$$\mathbf{x}_k^\tau = \left[ (\mathbf{x}_k^\tau)^T (\mathbf{x}_k^i)^T \right]^T \quad (1)$$

여기서  $\tau$ ,  $i$ 는 목표물과 각 센서의 색인을 의미하여 식 (2)와 같고, 모바일 센서는 2차원 움직임을 가정해 식 (3)과 같은 운동을 하며, 목표물은 정지상태를 가정한다.

$$\mathbf{x}_k^i = [x_k^i, y_k^i, \psi_k^i]^T, \mathbf{x}_k^\tau = [x_k^\tau, y_k^\tau]^T \quad (2)$$

$$\begin{aligned} \mathbf{x}_{k+1}^i &= f(\mathbf{x}_k^i, \mathbf{u}_k^i) + \mathbf{v}_k^i \\ &= \mathbf{x}_k^i + \begin{bmatrix} V \cos(\psi_k^i + \mathbf{u}_k^i \Delta t) \\ V \sin(\psi_k^i + \mathbf{u}_k^i \Delta t) \\ \mathbf{u}_k^i \Delta t \end{bmatrix} + \mathbf{v}_k^i \end{aligned} \quad (3)$$

목표물은 전파 신호를 송출하여  $i$ 번째 센서는 식 (4)와 같이 도래각 (angle of arrival, aoa)을 측정할 수 있으며, 사전에 지정한 원점에서도 동일한 전파 신호를 송출해 식 (5)와 같이 도래각 및 원점에서부터의 방위각을 측정할 수 있다고 가정한다.

$$\begin{aligned} \tau_k^i &= h_{aoa}(\mathbf{x}_k^\tau, \mathbf{x}_k^i) + A e_k^i \\ &= \text{atan2}(y_k^\tau - y_k^i, x_k^\tau - x_k^i) - \psi_k^i + A e_k^i \end{aligned} \quad (4)$$

$$\mathbf{z}_k^i = \begin{bmatrix} h_{aoa}(\vec{0}_{2 \times 1}, \mathbf{x}_k^i) \\ \text{atan2}(y_k^i, x_k^i) \end{bmatrix} + \begin{bmatrix} A e_k^i \\ B e_k^i \end{bmatrix} \quad (5)$$

자기 위치의 불확실성을 낮추기 위한 효용 (utility) 함수  $Q_1$ 과 목표물 위치 불확실성을 낮추기 위한 효용 함수  $Q_2$ 를 식 (6)과 같이 정의한다.

$$\begin{aligned} Q_1(p(\mathbf{x}_k^\tau, \mathbf{x}_k^i), \mathbf{u}_k^i) &= I(\mathbf{z}_{k+1}^i; \mathbf{x}_{k+1}^i) \\ Q_2(p(\mathbf{x}_k^\tau, \mathbf{x}_k^i), \mathbf{u}_k^i) &= I(\mathbf{z}_{k+1}^i; \mathbf{x}_{k+1}^\tau | \mathbf{x}_{k+1}^i = \hat{\mathbf{x}}_{k+1}^i) \end{aligned} \quad (6)$$

여기서  $I$ 는 상호 정보량을 나타낸다. 따라서, 상기 식들은 정보량을 최대화하면서 각각 자기 상태의 미래 불확실성, 목표물 위치의 불확실성을 낮추는 데 목적이 있다. 제안하는 센서별 기동 법칙은 아래와 같다.

$$\mathbf{u}_k^{*i} = \begin{cases} \mathbf{u}_1, & \text{if } \gamma_1 Q_1(p(\mathbf{x}_k^\tau, \mathbf{x}_k^i), \mathbf{u}_1) < \gamma_2 Q_2(p(\mathbf{x}_k^\tau, \mathbf{x}_k^i), \mathbf{u}_2) \\ \mathbf{u}_2, & \text{otherwise.} \end{cases} \quad (7)$$

여기서,  $\gamma_1, \gamma_2$ 는 두 효용 함수의 균형을 맞추는 정규화 값이다. 식 (6)의 다음 상태와 측정치 간의 상호 정보량은 불확실성이 큰 임무 초기에 발생하므로, 초기 공분산 설정값들을 이용해 식 (8, 9)와 같이 계산한다.

$$\gamma_1 = \frac{1}{2} \log \left( \frac{|\Sigma_0^i|}{\left| \left( \Lambda_0^i + J_o^T R_0^{o-1} J_o^i \right)^{-1} \right|} \right) \quad (8)$$

$$\gamma_2 = \frac{1}{2} \log \left( \frac{|\Sigma_0^r|}{\left| \left( \Lambda_0^r + \sum_{k=1}^{n_s} J_k^T R_0^{r-1} J_k^r \right)^{-1} \right|} \right) \quad (9)$$

여기서,  $\Sigma = \Lambda^{-1}$ 은 공분산을,  $J$ 는 식 (4), (5)의 자코비안을 의미한다. 각 센서의 파티클 필터는 완전연결된 (fully connected) 센서 네트워크를 가정하여 다음과 같이 순서대로 갱신한다.

$$w_k^{i,[j]} \propto w_{k-1}^{i,[j]} \times N \left( z_k^i - \begin{bmatrix} h_{aoa}(\vec{0}_{2 \times 1}, \mathbf{x}_k^{i,[j]}) \\ h_b(\mathbf{x}_k^{i,[j]}) \end{bmatrix}; 0, R_k^o \right) \quad (10)$$

$$w_k^{i,[j]} \propto w_{k-1}^{i,[j]} N(\tau_k^i - h_{aoa}(\mathbf{x}_k^{\tau,[j]}, \mathbf{x}_k^{i,[j]}); 0, R_k^r) \quad (11)$$

$$w_k^{i,[j]} \propto w_{k-1}^{i,[j]} N(\tau_k^l - h_{aoa}(\mathbf{x}_k^{\tau,[j]}, \hat{\mathbf{x}}_k^l); 0, R_k^r) \quad (12)$$

식 (10), (11)은 각각 식 (5), (4)의 갱신이며, 식 (12)는 타 센서로부터 전달받은 식 (4)의 갱신이다. 식 (12)에서  $l \in \{1, \dots, n_s\} - \{i\}$  이며,  $\hat{\mathbf{x}}_k^l$ 은  $l$ 번째 센서의 자기 위치 추정치이다.

$Q_1$ 의 계산을 위해서는 상호 정보량 값을 근사해야 하는데, 파티클 필터를 활용한 엔트로피의 근사, 수치적 적분 방식은 선행 연구<sup>(1)</sup>를 참고한다. 동일한 방식으로  $Q_2$ 를 계산하는데, 조건부 확률 분포는 커널 분포 추정<sup>(2)</sup>의 기법을 이용해 아래와 같이 추정한다.

$$\begin{aligned} p_{X_k^r | X_k^i}(\mathbf{x}_k^i) &= \hat{\mathbf{x}}_k^i(\mathbf{x}_k^i) \\ &\approx \frac{\sum_{j=1}^N w_k^{i,[j]} K_2(\mathbf{x}_k^i, \mathbf{x}_k^{i,[j]}) \delta(\mathbf{x}_k^r - \mathbf{x}_k^{\tau,[j]})}{\sum_{j=1}^N w_k^{i,[j]} K_2(\hat{\mathbf{x}}_k^i, \mathbf{x}_k^{i,[j]})} \\ &= \sum_{j=1}^N \hat{w}_k(\mathbf{x}_k^i, w_k^{i,[j]}, j) \delta(\hat{\mathbf{x}}_k^i, \mathbf{x}_k^{i,[j]}) \end{aligned} \quad (13)$$

식 (7)에서  $u_j, j \in \{1, 2\}$ 는 각각 아래의 최적화 문제의 해이며, 반복과정으로 최적화 문제를 푸는 상세 방법은 선행 연구<sup>(3)</sup>를 참고한다.

$$\begin{aligned} \text{minimize} \quad & Q_j(p(\mathbf{x}_k^r, \mathbf{x}_k^i), u_k^i) - \frac{1}{\beta} P(\mathbf{x}_k^r, u_k^i | \mathbf{x}_k^i, u_k^i) \\ \text{subject to} \quad & \mathbf{x}_{k+1}^i = \mathbf{f}(\mathbf{x}_k^i, u_k^i) + \mathbf{v}_k \\ & \tau_k^i = h_{aoa}(\mathbf{x}_k^r, \mathbf{x}_k^i) + e_k^r \\ & z_k^i = \begin{bmatrix} h_{aoa}(\vec{0}_{2 \times 1}, \mathbf{x}_k^i) \\ h_b(\mathbf{x}_k^i) \end{bmatrix} + e_k^o \end{aligned} \quad (1)$$

Fig. 1.은 시뮬레이션 결과이며, 각각 임무 시작, 8s, 24s의 표적 및 센서 위치 추정 결과를 나타낸다.

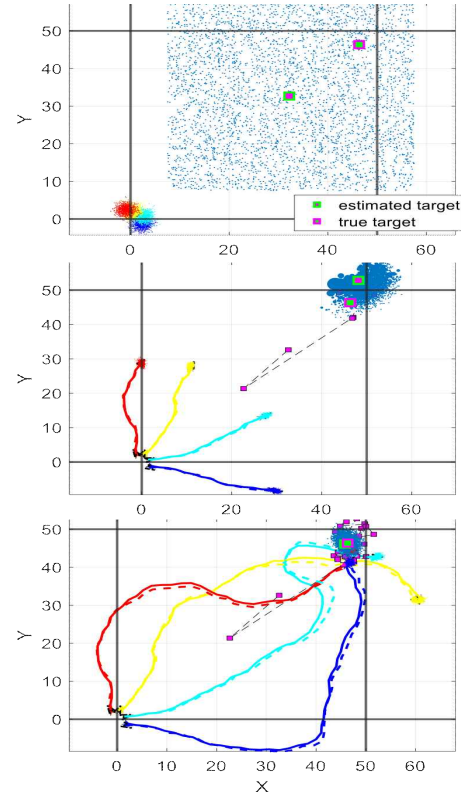


Fig. 1. 수치 시뮬레이션 결과

## 결론

제안하는 기동 법칙이 자기위치 불확실성 최소화과 목표물 불확실성 최소화 사이에 균형을 맞추며 자동으로 우선순위를 정해 협력 기동하는 것을 수치 시뮬레이션 결과로 보였다.

## 참고문헌

- 1) Hoffmann, Gabriel M., and Tomlin, Claire J., "Mobile Sensor Network Control using Mutual Information Methods and Particle Filters," *IEEE Transactions on Automatic Control*, Vol. 55, No. 1, 2009, pp. 32~47.
- 2) Bashtannyk, David M., and Hyndman, Rob J., "Bandwidth Selection for Kernel Conditional Density Estimation," *Computational Statistics & Data Analysis*, Vol. 36, No. 3, 2001, pp. 279~298.
- 3) Inalhan, Gokhan, Stipanovic, D. M., Tomlin, Claire J., "Decentralized Optimization with Application to Multiple Aircraft Coordination," *In Proceedings of the 41<sup>st</sup> IEEE Conference on Decision and Control*, 2002, pp. 1147~1155.